

YY(KM)型电力电容器 损坏原因的分析

武汉水利电力学院 黄齐嵩

北京中化试验所 缪始森

武汉水利电力学院印

1965·9

YY(KM)型电力电容器损坏原因的分析*

武汉水利电力学院 黄齐嵩
北京中心试验所 缪始焱

电力系统中的电容器损坏率较高，有时引起较大的事故，影响经济和安全供电。

关于电力电容器的损坏原因曾有各种不同意见：[文献：1、2、3、4]或认为由于电容器绝缘材料不过关不密；或认为系由于电容器绝缘起始游离场低，在过电压作用下使游离起始电压降低到工作电压以下所致。但实际运行中YY(KM)型电容器所出现的损坏现象又无法用上述方法来解释，下面根据运行情况的调查和试验分析提出我们的意见。

关于电容器绝缘的耐热性及不良问题

提出此原因的根据因电容器在夏季环境温度较高时易发生事故：当系统电压含有高次谐波时电容器的损耗增大，使内部温度升高，也造成损坏。在实际运行中，电容器的损坏并非完全在夏季，冬季也同样发生。表一为某地电容器在运行中发生损坏的统计。由此知，环境温度高并非根本原因。

有关高次谐波的影响，根据文献[5]，当系统电压所含1、5、7、11……等谐波分量能满足下列条件时：

表一

日期	损坏过程	损坏部位	继电保护动作情况	备注
62.10	温度突增、风箱膨胀裂开，油喷出燃烧。	内部元件击穿	过电流保护未动作，手动。	
63.6.12	温度增高，箱壳膨胀。	内部对箱壳放电（二台）	接触器保护动作	

[注]：本文有关试验部分在北京中试所进行。

—2—

63.6.21	温度增高，油箱膨胀	内部元件短路 (二台)		
63.9.12	温度升高，油箱膨胀漏油		相差动保护动作	未检查及试验
63.12.8	"		中性线不平衡保护 动作	"
64.2.12	"	内部短路 3°, 4°, 5°, 8° 上层	相横差动保护 动作	

$$\frac{U_1^2 + 5U_5^2 + 7U_7^2 + \dots}{U_1^2 + U_5^2 + U_7^2 + \dots} < 1.25 \sim 1.35$$

$U_1, U_5, U_7 \dots$ 基波及各次谐波分量

电压畸变对电容器的绝缘是无危险的。而实际运行的电压波形并无严重的畸变现象。

为了了解电容器绝缘的耐热性能 对 YY (KMY) 型电力电容器(包括苏联及国产)进行了热破坏试验。被试电压一试验中的电气参数如表2。

表二:

编 号	型 号	绝缘电阻 MΩ, 50C		tgδ, 0.5UH, 82, 6%		耐压起始电压 伏 箱流膨胀		总 计 时 间 h
		极间	极对壳	极间	极对壳	极间	极对壳	
10-3	KM-10.5-10-1	2300	365	0.19	5.46	7.12	7.12	0
10-7	KM-10.5-12-1	10000	50000	0.44	1.02	6.9	7.5	33
6-16	KM-6.6-10-1	7000	900	0.22	4.10	2.4	2.7	33

热破坏试验结果是：10~3号电容器在环境温度 80°C，电压 1.1 UH 下其 tgδ 随时间之变化如图 1。当环境温度增至 100°C，电压为 1.25 UH 时，tgδ 随时间增长而上升，三小时后开始有元件击穿。[注 1]

[注 1] 在环境温度 00°C 下试验前，曾在环境温度 40°C 下及 1.0 UH 和 1.1 UH 下试验共 3.5 小时。

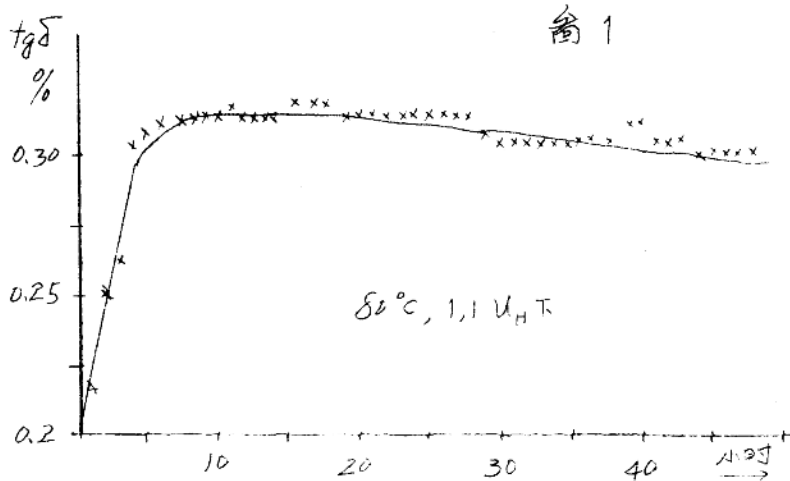


图 1. 10~3 号电容器在环境温度 80°C 及电
压 1.1 U_H 下，其 tgδ 随时间增大的变化曲线。

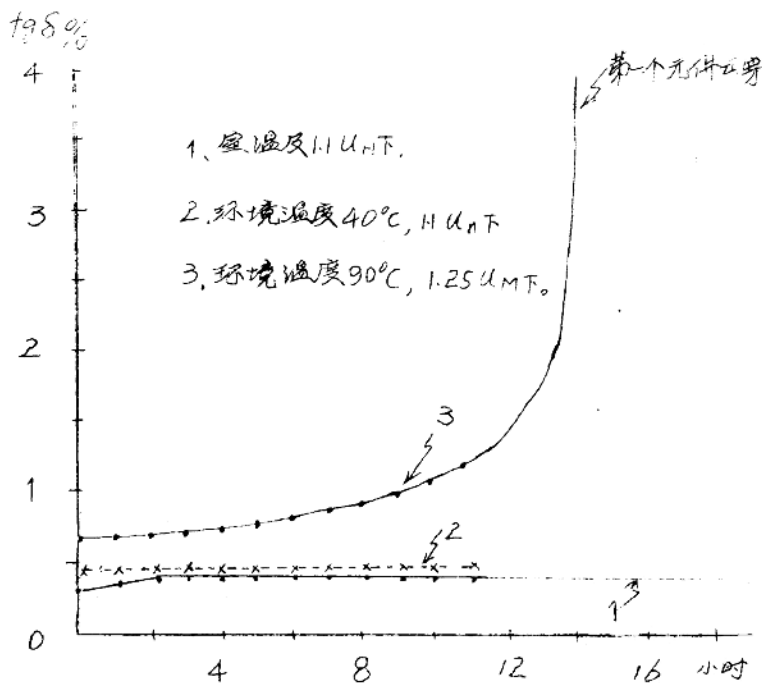


图 2. 10~7 号电容器在不同环境温度及电压
下之 tgδ 值随时间之变化情况。

-4-

10~7电容器在环境温度 40°C , 1.1U_H 下经过17小时试验 $\tan\delta$ 值稳定在 $0.42\sim0.43\%$ 间。在环境温度 90°C , 1.25U_H 下经过6.75小时开始有元件击穿，其 $\tan\delta$ 随时间的变化情况如图2。

6~16号电容器在环境温度 45°C , 1.05U_H 下，其 $\tan\delta$ 值随时间增长不断增大，19小时后开始有元件击穿。

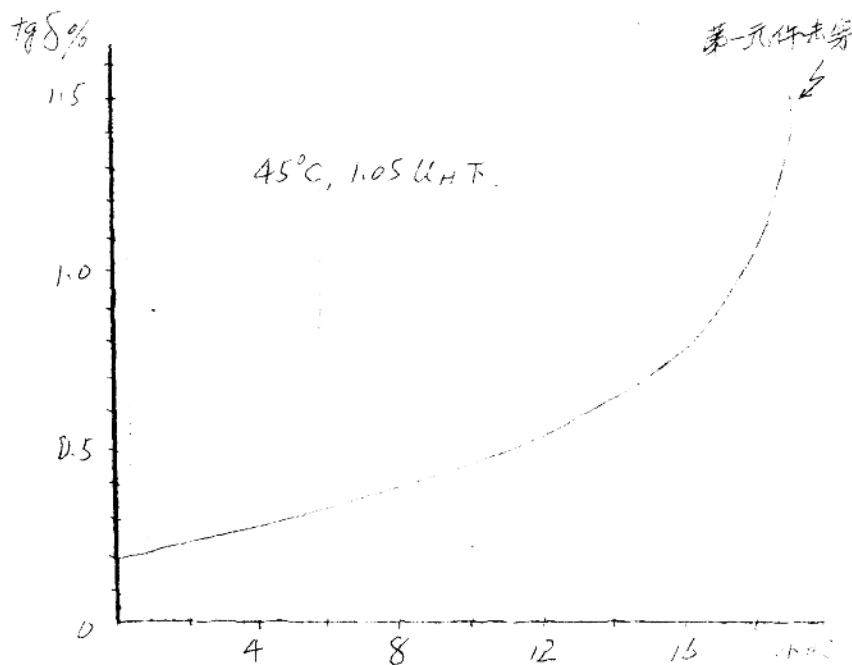


图3. 6~16号电容器在环境温度 45°C 及 1.05U_H 下之 $\tan\delta$ 随时间变化情况

由上述试验结果可知：

1) YY(KM)型电容器即使有某些缺陷，如10~3号电容器，但耐热性仍较高。按电工标准规定[文献7]，电容器在环境温度 40°C , 1.2U_H 交流电压下持续48小时，如在16, 24, 48小时之 $\tan\delta$ 符合下列条件：

$$\tan\delta_{48} = \tan\delta_{24} = \tan\delta_6$$

即认为满足上述要求，现10-3号电容器在环境温 30°C , 1.25 U_H下的16, 24, 48小时之 $\tan\delta$ 分别为0.33%, 0.32%及0.29%，即满足上述条件。因此，应认为此电容器的耐热性能是良好的。

2)即使电容内部已产生游离，如10-7号电容器，但其耐热性能仍较高，在 90°C , 1.25 U_H下始有元件击穿。

3)被检查之电容器都是59年前后的产品，运行时间仅2-3年，不能认为是由绝缘老化造成其耐热性能不良。

由上述情况可知，电容器在环境温度高时的损坏并非其绝缘耐热性能不良，而是其内部已形成其它严重缺陷所致，在解剖10-7及6-16号二台电容器后即得到证明：解剖10-7号电容器后发现两套浸在油箱内部分已完全烧黑，电容元件已露于油面，这说明其高压引线在运行中曾发生强烈放电，使油大量炭化，油面下降。因引线及元件均露于油外，极间游离起始电压极低，只为工作电压36.4%，由于套管下部烧黑及炭化，极对壳之 $\tan\delta$ 值很大，又因元件露于油面，散热条件及抗热强度均恶化，故在环境温度不高及电压较低的条件下即产生击穿。10-7号电容器虽然游离起始电压降低，但元件仍在油面下，故耐热性能及抗电强度均较高，表三为对两台电容器矿物油的检查结果。

表三

编 号	油位(油面与稍壳顶之距离), 毫米	油量, 立方厘米	油 色	$\tan\delta (18^{\circ})$
10-7	63	3682	浅黄, 清洁	0.07%
6-16	155	2112	深黑, 有炭粒	0.17%

由此可知，应进一步找出引起电容器内部发生严重损坏的原因。

关于电容器内部游离问题

这一问题在国外文献中已有详细的介绍。一般说来，电容

绝缘纸的游离起始场强低，在过电压下作用下电容器的损坏是由电压不断降低而引起损坏，且损坏随绝缘厚度以提高其游离起始场强。^(文献4.6) 根据研究，电容器在这种情况下的损坏具有下列特点：1) 游离起始电压低于工作电压；2) 极间 $tg\delta$ 增大；3) 铝壳膨胀；4) 绝缘纸上应有大点腊化痕迹，同时，损坏是一个较长的过程。目前，我国电容器在运行中的损坏情况不完全符合上述现象，如一次被分析的双台电容器中，极间 $tg\delta > 0.3\%$ 者 3 台，而极对壳之 $tg\delta$ 为 0.3~0.4% 者 4 台，0.4~1.0% 者 4 台，1.0% 以上者 11 台，最大达 9.68%。除极间 $tg\delta > 0.44\%$ 之 10 台电容器的元件有腊化及铝箔腐蚀现象外，其他电容器之元件并无腊化痕迹，此外，又对 120 台电容器进行试验，在 $1.1 U_H$ 电压下部分放电仪有指示的有 16 台，取出其中三台进行解剖，其元件均无腊化痕迹，且绝缘 $tg\delta$ 均小于 0.3%，这说明：即使电容器内部有游离损坏也并非由于绝缘产生大面积游离所引起的，而必须有其他的引起损坏原因。

在运行中还常发现电容器投入不久，即产生损坏事故，如某地在 63 年 7 月投入一组电容器，一个月内即损坏 28 台；另一组在投入运行三个月内先后损坏 15 台，损坏分类如表四，这样迅速的损坏也不能认为主要是由于电容器绝缘游离起始场强低引起的，电容器在运行中的损坏虽然也发生箱壳膨胀现象，但由于内部击穿或放电也会使油炭化分解而产生气体，而使箱壳膨胀，而

表四：

箱壳膨胀	漏身发热	箱壳漏油	大盖漏油	放电	内部损坏	放爆	空壳漏油
12	1	1	2	6	2	1	21

产生膨胀，而且，某些电容器箱壳膨胀常发生在损坏的瞬间，以至一触即发。

上述情况可以说明，当前电容器的损坏主要原因是由于

绝缘的游离起始场强低，在过电压作用下使其游离起始电压降低至工作电压下所引起的。

YY(KM)型电力电容器的损坏原因。

根据调查及试验分析损坏主要是由于下列原因造成：

- 1) 抗电强度低的元件发生击穿。

多数电容器在运行中的损坏是因内部元件击穿所引起的。

表五为某地三年中预防性试验所淘汰的电容器之缺陷分类情况，由表中可知：内元件击穿（电容增大及击穿）佔被淘汰之电容器的42%，因这批电容器均係53年前后的产品，时间不

表五

极间击穿	电容增大($>10\%$)	放电	箱壳膨胀	漏油	缺油发空	其他
3	179	69	1	80	53	38
0.73%	41.3%	15.73%	0.24%	19.4%	12.4%	9.2%

论绝缘老化不是主要原因之一。我们解剖一台电容量增大17%之10~28号电容器，其中有三个元件击穿：一元件最外层之元件；另二元件处于中部，但击穿部位位于最外层靠近箱皮处。这样也不能认为击穿是由于热老化所引起的，可以认为，造成电容器元件的大量击穿原因如下：

(1) 制造厂对元件质量未严格挑选

电容器绝缘之击穿场强的裕度是很高的，一般达10倍以上。即使对严重损坏的电容器中取下的元件进行交流耐压试验，其击穿电压亦不低于5~6千伏，有的可达10千伏；但电容器係大面积油纸绝缘，一些元件不可避免的存在弱点；制造时如不将有弱点的元件淘汰，在运行中将会很快击穿，还可能影响其他好元件，而且因击穿过程中油炭化，有可能使元件露出油面，抗电强度进一步降低，这也是电容器投入运行不久即迅速损坏的一个主要原因。

(2) 绕线工艺不良。

在绕制元件时因张力不均，该元件内松外紧，当元件压平后，内部必然有绷析，形成空隙，此处易产生游离，造成击穿。从解剖的 65 个元件中可以发现，在元件裡层拐角处击穿者佔 37%，由图 5 及图 6 表示出这种情况。



图 5

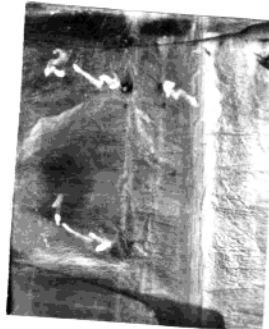


图 6

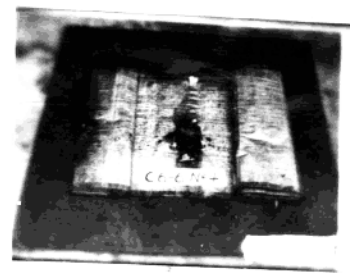


图 7

(3) 元件电极引出线制造不良。

YY(KM)型电容器元件电极引出线使用薄铜片（厚 0.05 毫米， 20.16×15 毫米）制成，由于工艺不良，边缘毛刺很多。在引线周围极板易产生游离。仅经烘酥坏（图 6 点 2、3）导致击穿（图 7），特别是放置及调正引线时不慎，使其弯曲，且接触不良及绝缘被剥裂（图 6，点 1），其击穿电压必然降低，由解剖之元件可以发现，击穿点主引线附近者佔 18.5%。

上述 (2)(3) 两种情况都会是先产生游离而后击穿，但因游离区域小，腊化面积小，其极间 $\tan\delta$ 也就不会显著增大。

2) 对箱壳无绝缘有弱点。

极对箱壳放电是电容器损坏的另一个主要原因，如某地抽样试验时，在不合格的 34 只电容器中，极对壳放电者达 47%，即 16 只。自系统中另取之 40 只，10 千伏 YY 型电容器，

进行双极对壳之直流耐压试验，其中川台有放电响声，约占 27.5%。在正常运行中，由于极对箱壳放电引起损坏的亦佔很大比例，如某地三年发生 68 台电容器损坏事故中，有 7 台是极对壳放电，佔 11%。

引起极对箱壳放电的原因，根据分析主要是高压引线之结构及工艺不良所致。

YY(KM)型电容器之高压引线系由薄铜片（厚×宽 $\sim 0.25 \times 10$ 毫米）制成，因工艺不良，边缘不平，有毛刺及严重弯折，其尖端处易产生电晕，曾取下这种极片作电晕起始电压试验，其值仅为 3~4 千伏（油质较差）。另外，在解剖 10-7 号电容器时，发现靠近两高压引线之电缆纸上有明显的由于电晕放电使纸炭化的痕迹，这说明此电容器在运行中已经产生电晕。

特别是由于安装不慎，使高压引线弯折，而一端短于另一端，使极片与对箱壳的距离，至较高电压下产生放电，如对 10-12 号电容器进行直流耐压试验时，在不到 20 千伏电压下的有断续的放电声。解剖后，靠近引线附近正面之电缆纸上端发现有 10~15 厘米被火烧焦的情况，这说明电容器在运行中已发生极对箱壳放电现象。

由于上述缺陷，将因电晕或放电使油分解，箱壳膨胀，油面下降造成元件击穿。特别是电力系统中性点电流大的情况下产生对箱壳放电使油严重炭化，6-16 号电容器之油质变成紫黑色，两空受下部全被烧黑，也就说明了这种情况。油所分解出之腊状物质和炭粒沉澱附着在绝缘上，使极对壳之 $tg\delta$ 增大。许多游离起始电压降低之电容器其极间 $tg\delta$ 没有显著改变，而极对箱壳的 $tg\delta$ 却严重增大之原因即此。这些缺陷必然使电容器在一定条件下产生击穿损坏。

3) 密封不良。

由表五可知：漏油问题是电容器被淘汰的一个主要原因之一。由于漏油，箱盖下部件，引线外露，且内油箱的油质如降低，一旦极对壳放电，严重的使元件霉烂发霉，或一次击穿下使元件

穿，从解剖的元件中可以发现击穿部位在元件端部处佔72.3%。图8即表示此种击穿情况，这证明运行中的击穿往往是因为元件需去油面部分之散热和抗电强度较低所致。



此外，因为套管密封不良，潮气侵入使绝缘电阻下降，约10~28号电容器的极间绝缘电阻为 $5000\text{M}\Omega$ ，极对壳为 $200\text{M}\Omega$ ，干燥去潮液经过简单的拭干后，二者均上升至 $>10000\text{M}\Omega$ 。当潮气侵入潮气会使电流增加，运行时间又是不断发展的，例10010-61

电容器最初测绝缘电阻， $R_{\text{极间}}=1400\text{M}\Omega$ ， $R_{\text{极壳}}=89\text{M}\Omega$ ，放于室内一年后测量，其数值又大为降低，极间仅为 $48\text{M}\Omega$ ，极壳为 $10\text{M}\Omega$ ，这样继续降低，主极壳连接时即引起击穿损坏事件。一些地区在运行及预防性试验中均发生过瓷瓶爆炸事故。同时潮气侵入也会使绝缘的抗电性能降低，造成电容器击穿损坏。

由上述分析可知：当前电容器损坏的主要原因是结构及工艺不良所致，希有关单位设法改进，提高质量，以满足生产需要。

参考文献

- 1) 10, 6千伏电容器运行情况的分析 杨先茂 沈阳电业局
(电机工程师学会报告会文件)
- 2) 容器损坏原因分析 上海电管局中试所
- 3) 制造时电容器损坏情况分析 哈尔滨电业局
- 4) Г. М. Файнман и др. Износ изоляции бумаги-масляных конденсаторов и методы по вычислению их эксплуатационной надежности. 第二届高压绝缘科学文集, 1955.
- 5) 电压含有高次谐波时对电容器绝缘性能影响的分析 黄奇嵩、北京电力学院高压论文集
- 6) Г. С. Куринский, Введение тонким слоем вулканизированных силиконовых конденсаторов №-60 1954, № 6.
- 7) 电工专业标准(草案), 电(D)145~60, 矿物油浸渍电容器。

高压教研室 黄奇嵩